

Figura 228. Componente real de las corrientes estáticas.  
 $f_e=4000\text{Hz}$  -  $f_r=190\text{Hz}$  -  $s=0.05$ .  $p=20$ .

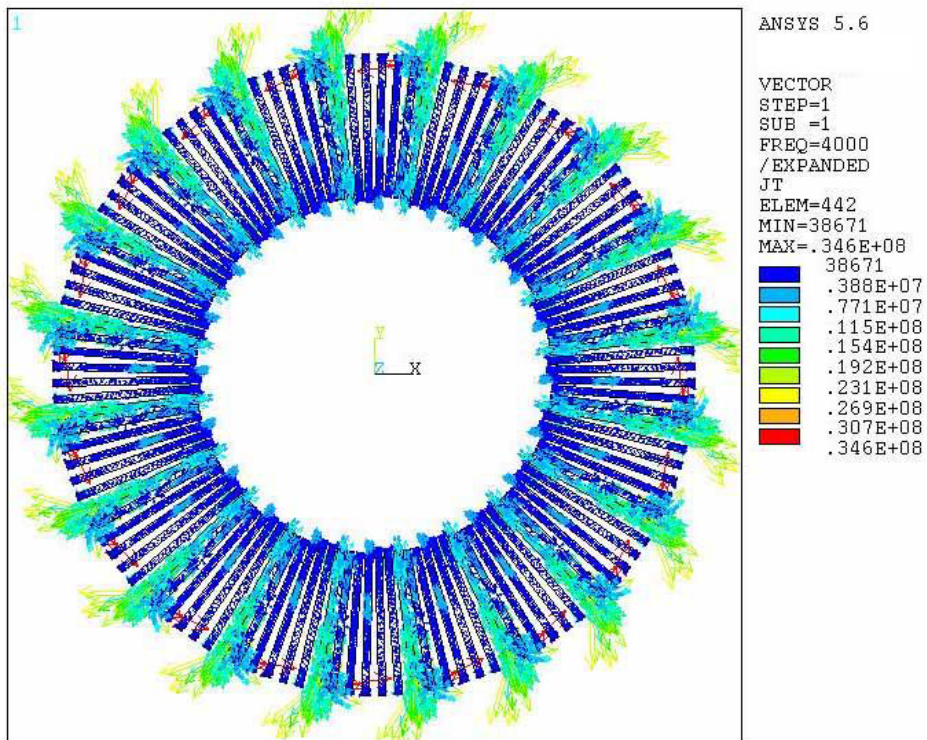


Figura 229. Componente imaginaria de las corrientes estáticas.  
 $f_e=4000\text{Hz}$  -  $f_r=190\text{Hz}$  -  $s=0.05$ .  $p=20$ .

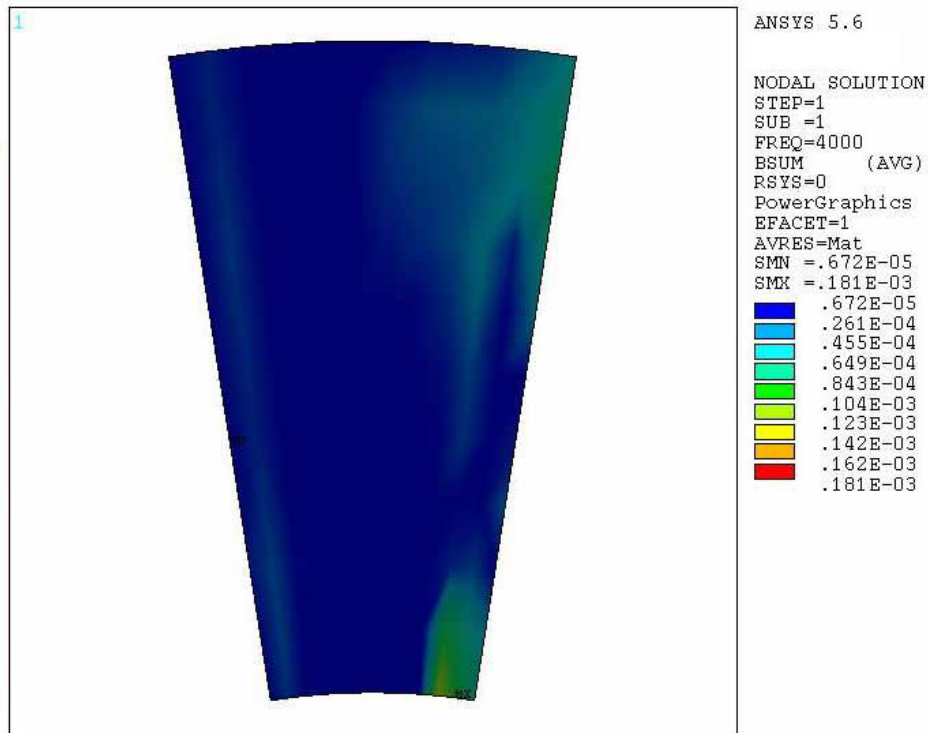


Figura 230. Componente real de la densidad de campo B.  $f_e=4000\text{Hz}$  -  $f_r=190\text{Hz}$  -  $s=0.05$ . Distribución por par de polos  $p=20$ .

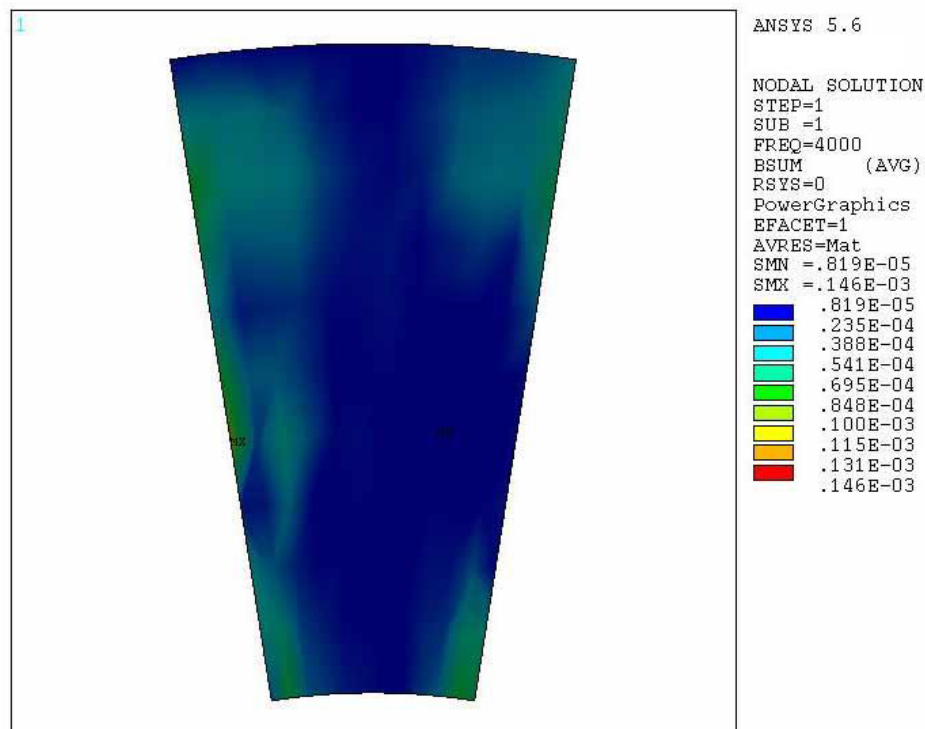


Figura 231. Componente imaginaria de la densidad de campo B.  $f_e=4000\text{Hz}$  -  $f_r=190\text{Hz}$  -  $s=0.05$ . Distribución por par de polos  $p=20$ .

A.1.1.10.  $f_e=5000\text{Hz}$  -  $f_r=237.5\text{Hz}$ .

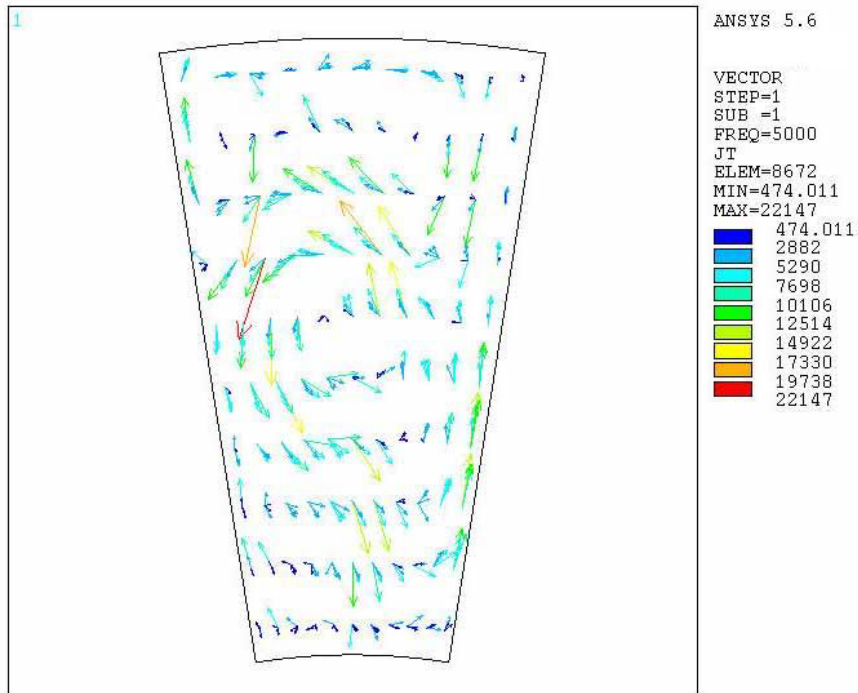


Figura 232. Componente real de la J del rotor.  $f_e=5000\text{Hz}$  -  $f_r=237.5\text{Hz}$  -  $s=0.05$ . Distribución por par de polos  $p=20$ .

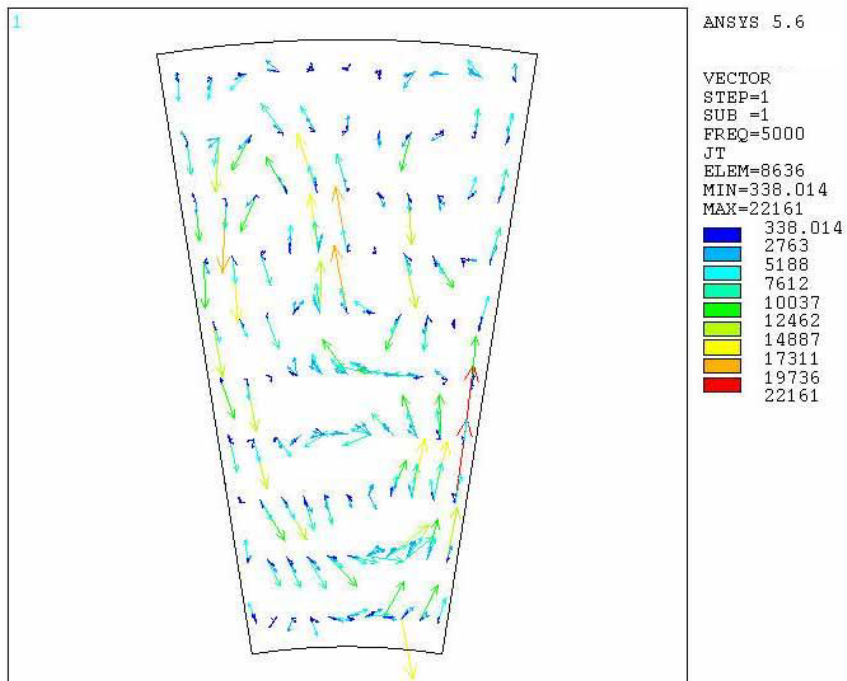


Figura 233. Componente imaginaria de la J del rotor.  $f_e=5000\text{Hz}$  -  $f_r=237.5\text{Hz}$  -  $s=0.05$ . Distribución por par de polos  $p=20$ .

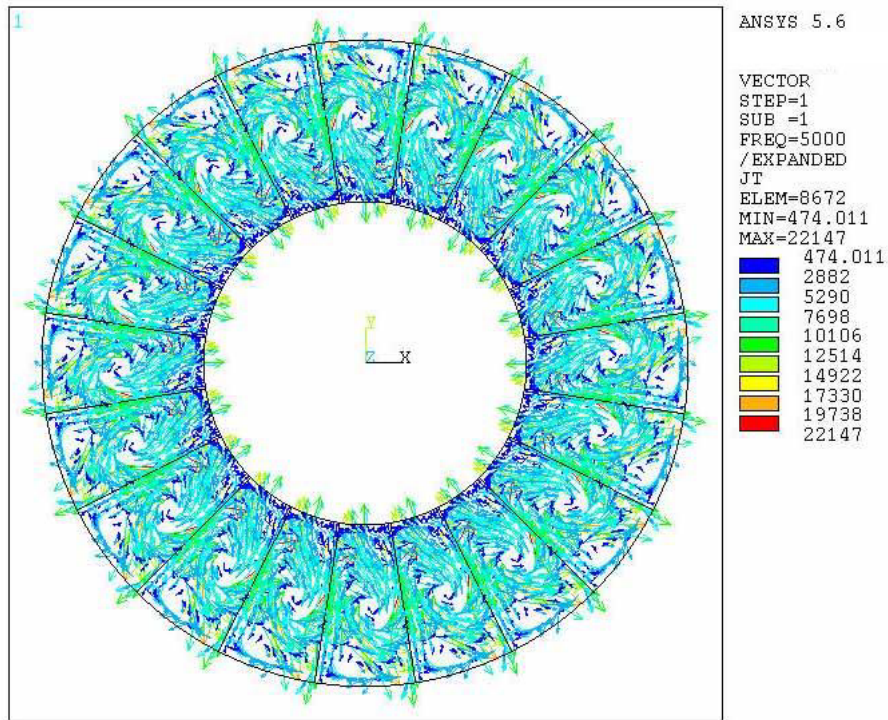


Figura 234. Componente real de la J del rotor.  $f_e=5000\text{Hz}$  -  $f_r=237.5\text{Hz}$  -  $s=0.05$ .  $p=20$ .

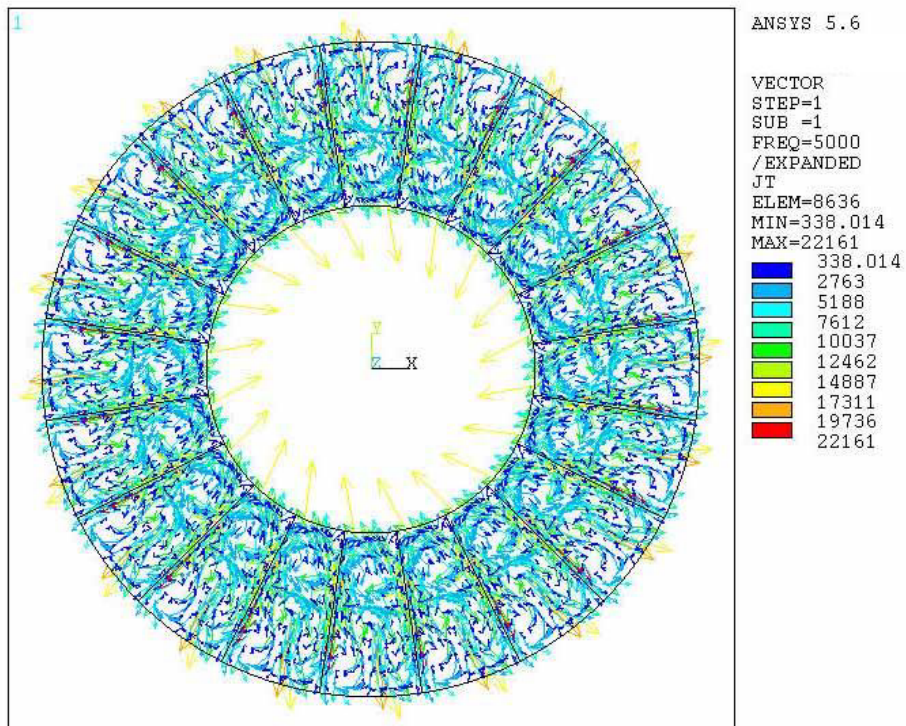


Figura 235. Componente imaginaria de la J del rotor.  $f_e=5000\text{Hz}$  -  $f_r=237.5\text{Hz}$  -  $s=0.05$ .  $p=20$ .

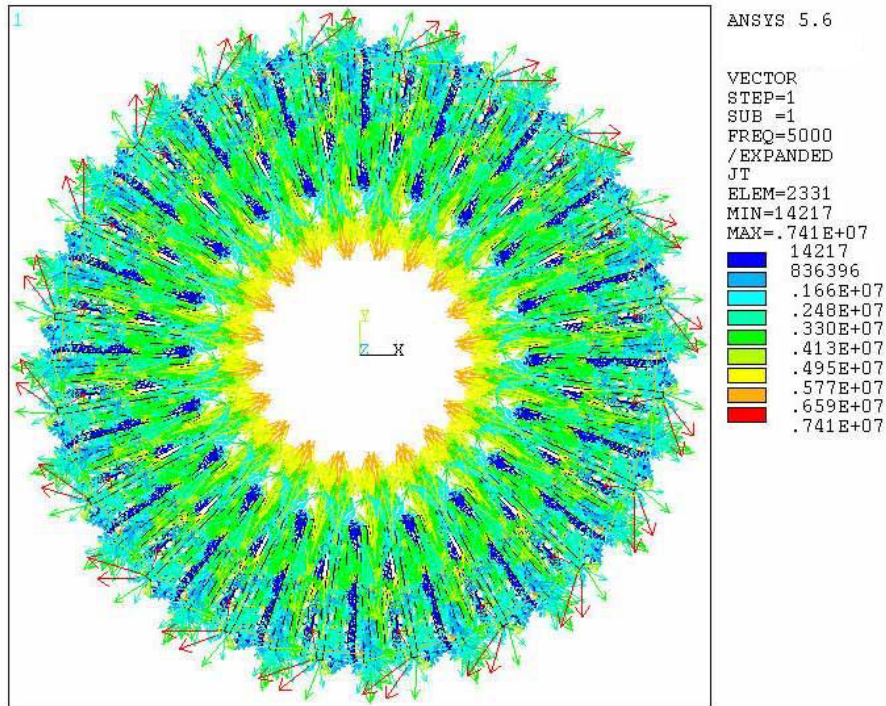


Figura 236. Componente real de las corrientes estáticas.  
 $f_e=5000\text{Hz}$  -  $f_r=237.5\text{Hz}$  -  $s=0.05$ .  $p=20$ .

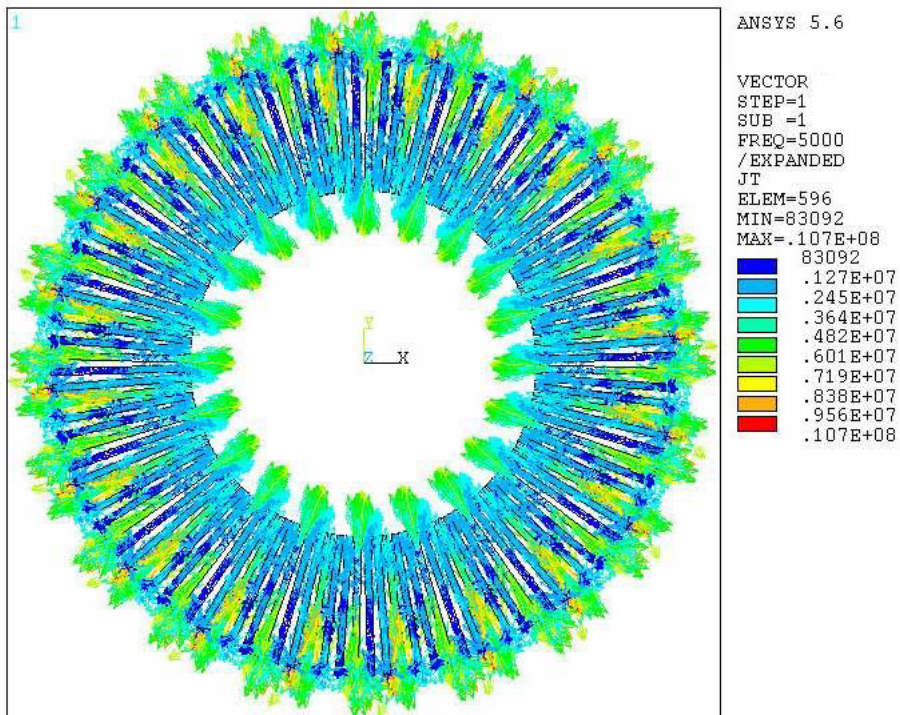


Figura 237. Componente imaginaria de las corrientes estáticas.  
 $f_e=5000\text{Hz}$  -  $f_r=237.5\text{Hz}$  -  $s=0.05$ .  $p=20$ .

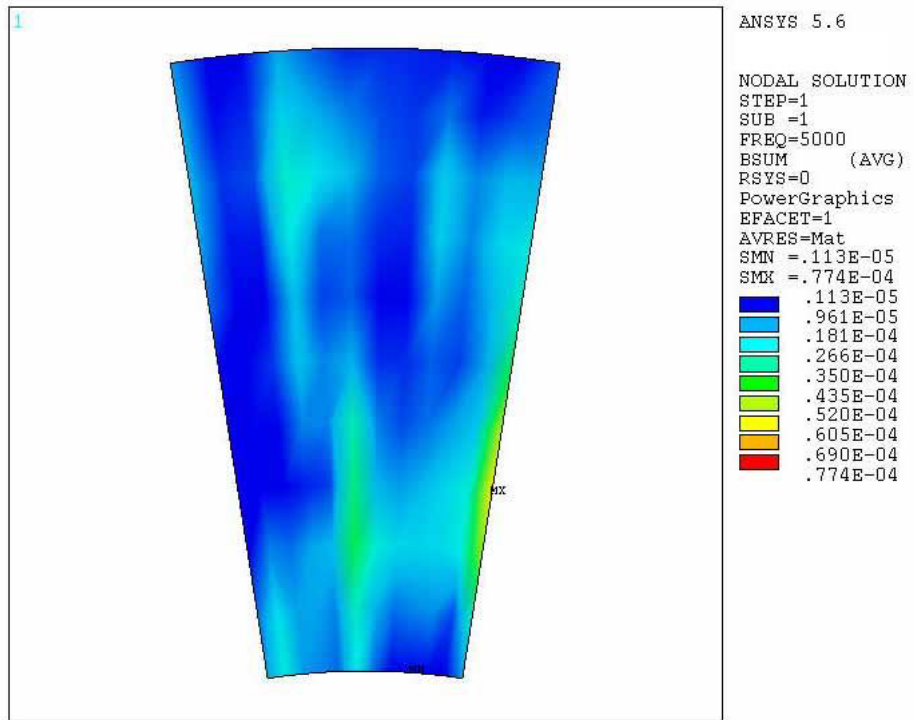


Figura 238. Componente real de la densidad de campo B.  
 $f_e=5000\text{Hz}$  -  $f_r=237.5\text{Hz}$  -  $s=0.05$ .  $p=20$ .

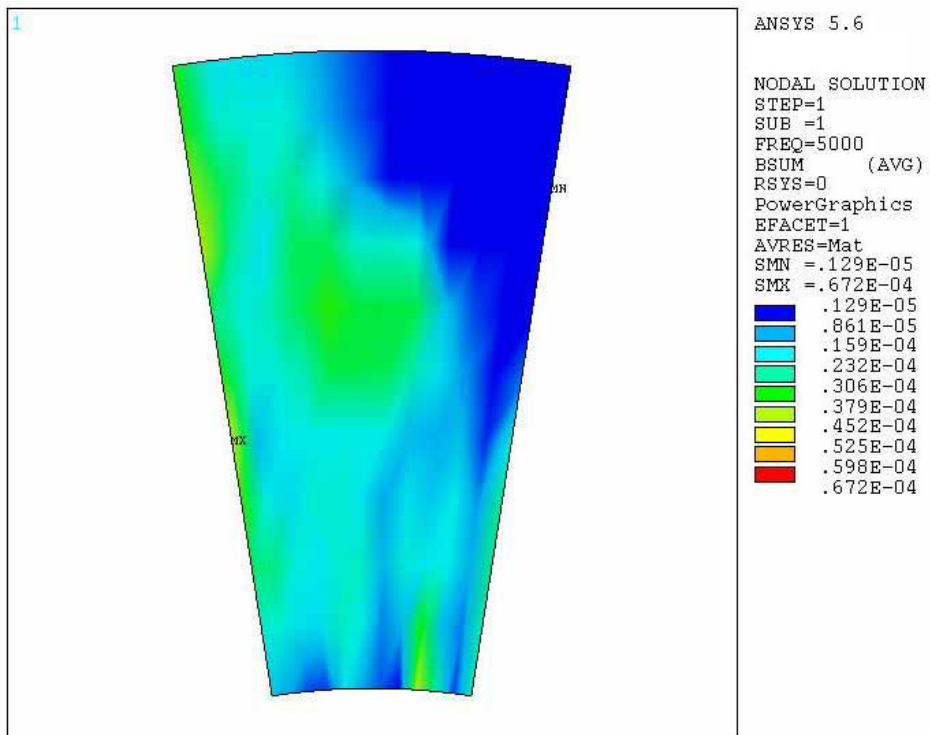


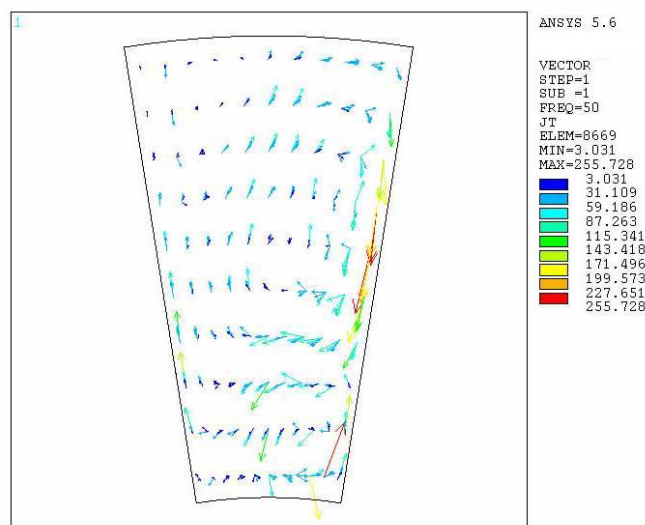
Figura 239. Componente imaginaria de la densidad de campo B.  
 $f_e=5000\text{Hz}$  -  $f_r=237.5\text{Hz}$  -  $s=0.05$ .  $p=20$ .

**A.1.2. Comportamiento del motor a una fe de 50 Hz, al variar el deslizamiento de  $s=0.05$  hasta  $s=0.999$**

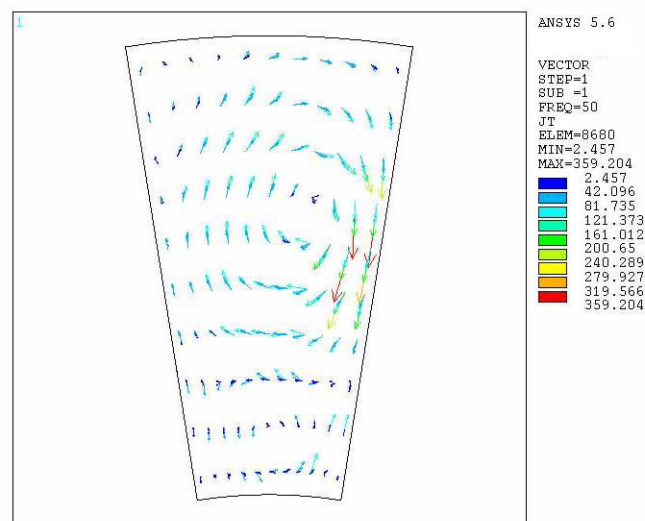
**A.1.2.1.  $s=0.05 - fr=2.375Hz$ .**

Ver A.1.1.1.

**A.1.2.2.  $s=0.10 - fr=2.25Hz$**



**Figura 240. Componente real de la J del rotor.  $f_e=50Hz - fr=2.25Hz - s=0.10$ . Distribución por par de polos  $p=20$ .**



**Figura 241. Componente imaginaria de la J del rotor.  $f_e=50Hz - fr=2.25Hz - s=0.10$ . Distribución por par de polos  $p=20$ .**

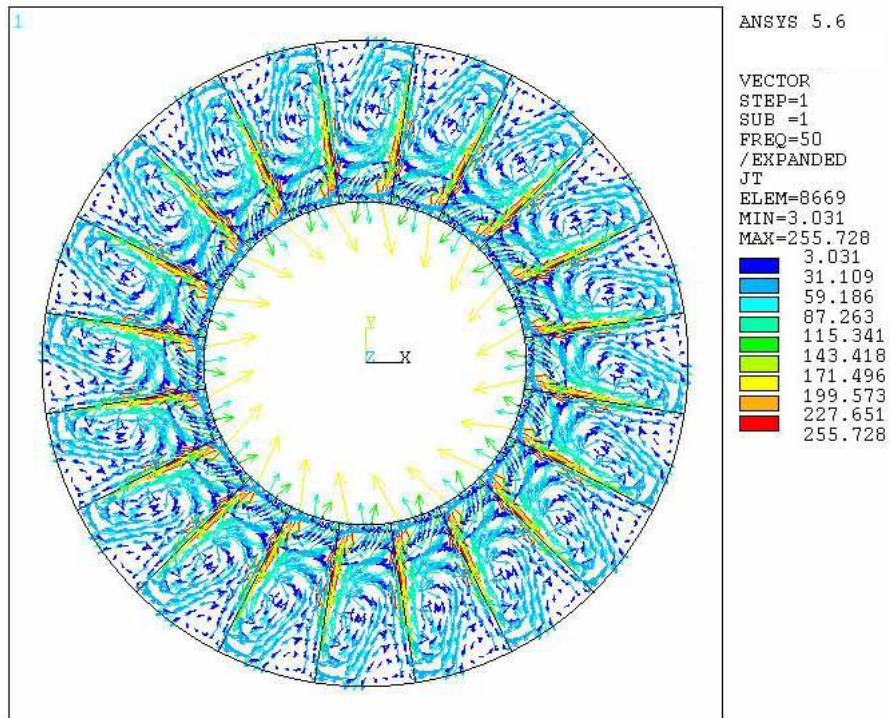


Figura 242. Componente real de la J del rotor.  $f_e=50\text{Hz}$  -  $f_r=2.25\text{Hz}$  -  $s=0.10$ .  $p=20$ .

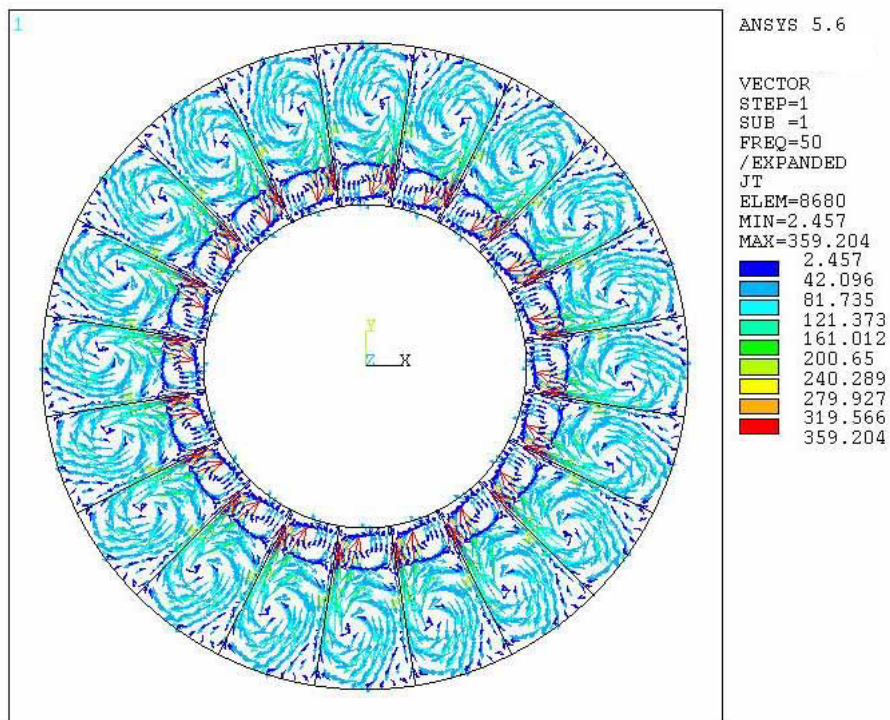


Figura 243. Componente imaginaria de la J del rotor.  $f_e=50\text{Hz}$  -  $f_r=2.25\text{Hz}$  -  $s=0.10$ .  $p=20$ .



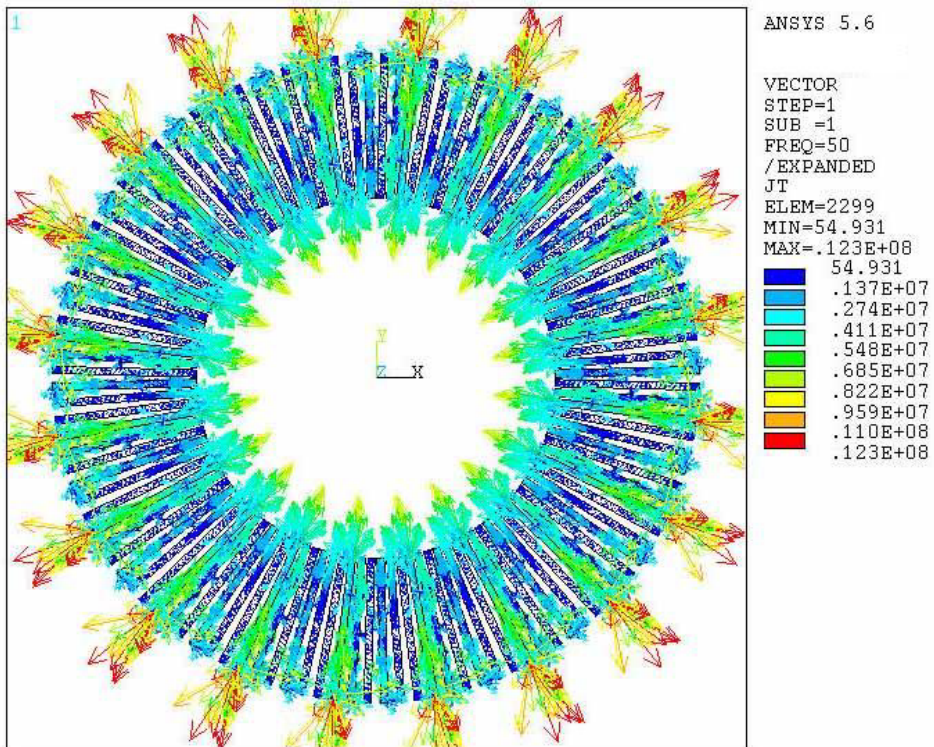


Figura 244. Componente real de las corrientes estáticas.  
 $f_e=50\text{Hz}$  -  $f_r=2.25\text{Hz}$  -  $s=0.10$ ,  $p=20$ .

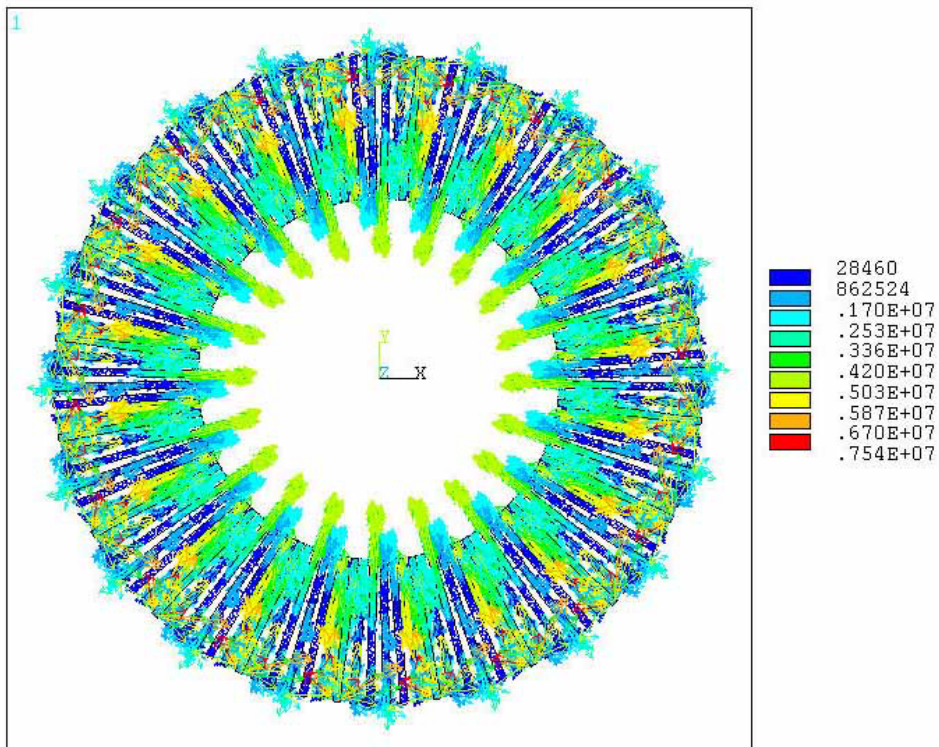


Figura 245. Componente imaginaria de las corrientes estáticas.  
 $f_e=50\text{Hz}$  -  $f_r=2.25\text{Hz}$  -  $s=0.10$ ,  $p=20$ .

A.1.2.3.  $s=0.20$  -  $fr=2Hz$

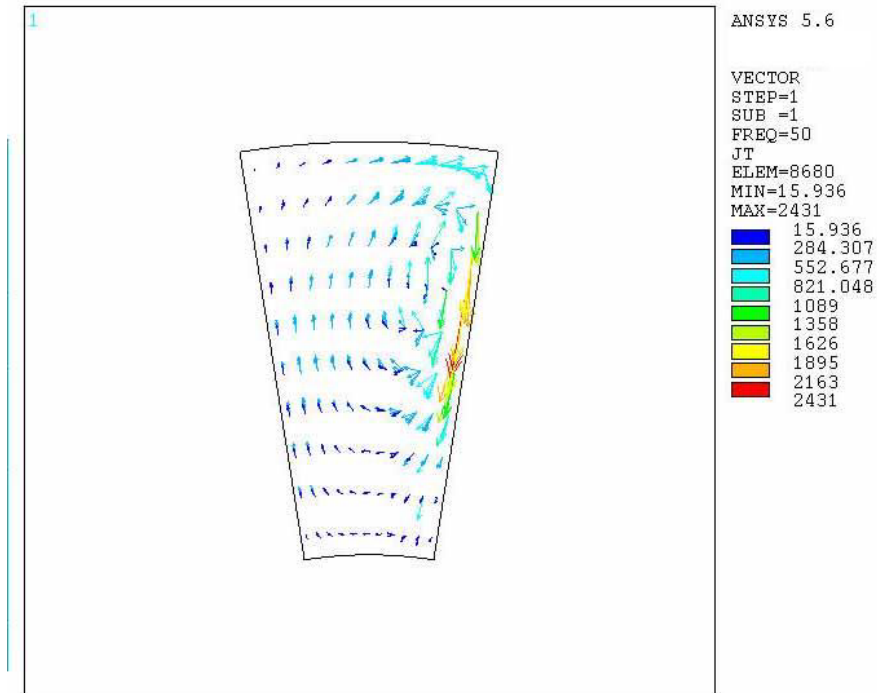


Figura 246. Componente real de la J del rotor.  $f_e=50Hz$  -  $fr=2Hz$  -  $s=0.20$ . Distribución por par de polos  $p=20$ .

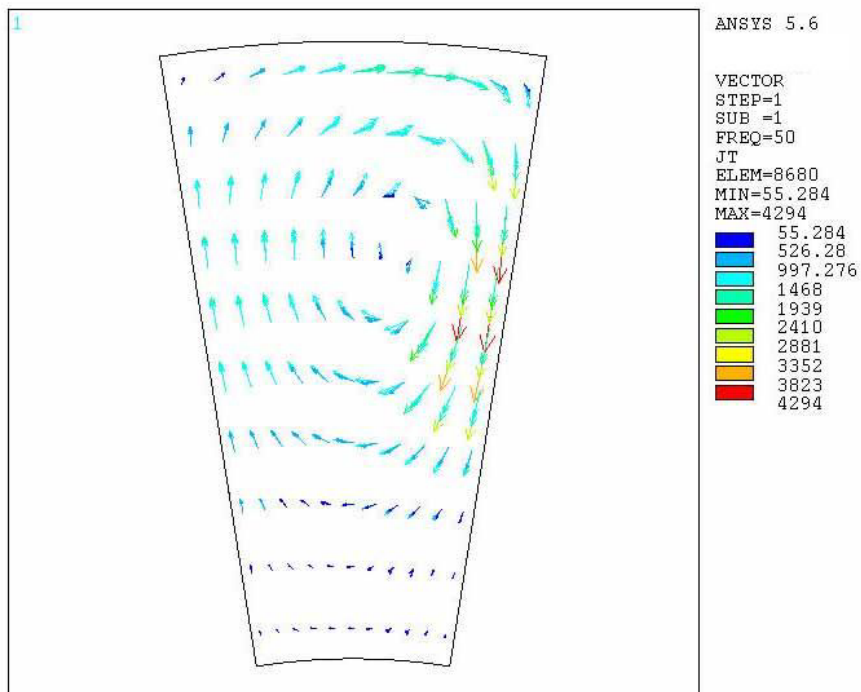


Figura 247. Componente imaginaria de la J del rotor.  $f_e=50Hz$  -  $fr=2Hz$  -  $s=0.20$ . Distribución por par de polos  $p=20$ .